

## 基础研究

人甲状旁腺激素(1-34)在人成骨肉瘤细胞中对基质 Gla 蛋白及 Wnt/ $\beta$ -catenin 信号通路的调节作用胡亚莉<sup>1,2</sup>, 张洁<sup>1</sup>, 符刘晨<sup>1</sup>, 杨雅<sup>1</sup><sup>1</sup>南昌大学第二附属医院内分泌科, 江西 南昌 330006; <sup>2</sup>上海市杨思医院内分泌科, 上海 200126

**摘要:**目的 观察人甲状旁腺激素(PTH)的N端活性片段PTH(1-34)对人成骨肉瘤细胞MG63基质Gla蛋白(MGP)表达的影响,以及PTH通过Wnt/ $\beta$ -catenin信号通路介导MGP表达调控的作用,探讨PTH(1-34)在防治骨质疏松症作用中可能的分子机制。**方法** (1)用不同浓度PTH(1-34)( $10^{-9}$ 、 $10^{-8}$ 、 $10^{-7}$  mol/L),单独或联合Wnt/ $\beta$ -catenin信号通路抑制剂DKK-1(200 ng/mL)干预MG63细胞;(2)检测碱性磷酸酶(ALP)染色及活力测定用于判断细胞分化情况;(3)MGP及Wnt/ $\beta$ -catenin信号通路各组分的mRNA及蛋白的表达分别采用实时定量RT-PCR及Western blotting方法。**结果** (1)PTH(1-34)上调MGP基因的表达,MGP mRNA的表达分别是对照组的2.56倍、4.14倍、7.81倍( $P<0.05$ 或 $P<0.01$ ),且呈剂量依赖性增高;(2)PTH增强MG63细胞ALP活力,Dkk-1抑制ALP活性,Dkk-1与PTH联用部分阻断PTH上调ALP活力( $P<0.05$ );(3)PTH上调MGP及Wnt/ $\beta$ -catenin信号通路中相关因子LRP5、 $\beta$ -catenin、Runx2 mRNA及蛋白水平,其mRNA分别是对照组的2.65、4.01、3.48倍( $P<0.05$ 或 $P<0.01$ );DKK-1对PTH(1-34)促MGP表达没有影响,但大部分阻断了Wnt/ $\beta$ -catenin信号通路中相关因子的表达。**结论** PTH(1-34)能明显上调MGP及Wnt/ $\beta$ -catenin信号通路中相关因子的表达,Wnt/ $\beta$ -catenin信号通路和MGP在PTH调节骨代谢中起重要作用。

**关键词:**人甲状旁腺激素(1-34);基质Gla蛋白;人成骨肉瘤细胞;Wnt/ $\beta$ -catenin信号通路;碱性磷酸酶

Effect of parathyroid hormone (1-34) on expression of matrix Gla protein and Wnt/ $\beta$ -catenin signaling pathways in MG63 cell linesHU Yali<sup>1,2</sup>, ZHANG Jie<sup>1</sup>, FU Liuchen<sup>1</sup>, YANG Ya<sup>1</sup><sup>1</sup>Department of Endocrinology and Metabolism, Second Affiliated Hospital of Nanchang University, Nanchang 330006, China; <sup>2</sup>Department of Endocrinology and Metabolism, Yangsi Hospital, Shanghai 200126, China

**Abstract: Objective** To observe the effect of parathyroid hormone (PTH)(1-34) on the expression of matrix Gla protein (MGP) and Wnt/ $\beta$ -catenin signaling pathway and elucidate the possible molecular mechanism of PTH (1-34) in the prevention and treatment of osteoporosis. **Methods** MG63 cells treated with PTH (1-34) at  $10^{-9}$ ,  $10^{-8}$ , and  $10^{-7}$  mol/L, alone or in combination with Wnt/ $\beta$ -catenin signaling pathway inhibitors DKK-1 (200 ng/ml) were examined for mRNA and protein expressions related with Wnt/ $\beta$ -catenin signaling with real-time PCR and Western blotting. The cell differentiation after the treatment was assessed with alkaline phosphatase (ALP) staining and cell viability assay. **Results** PTH (1-34) significantly increased the expression of MGP in a dose-dependent manner in MG63 cells ( $P<0.05$  or  $P<0.01$ ). PTH treatment obviously enhanced ALP activity in the cells, and this effect was suppressed by DKK-1. Combined treatment with DKK-1 partially blocked PTH-induced enhancement of ALP activity ( $P<0.05$ ). PTH promoted the expression of MGP and enhanced LRP5,  $\beta$ -catenin, and Runx2 expressions in Wnt/ $\beta$ -catenin signaling pathway at both protein and mRNA levels ( $P<0.05$  or  $P<0.01$ ). DKK-1 partially blocked the effect of PTH (1-34) on Wnt/ $\beta$ -catenin signaling pathway ( $P<0.05$ ) without affecting MGP expression. **Conclusion** PTH (1-34) significantly increases the expressions of MGP and proteins in the Wnt/ $\beta$ -catenin signaling pathway. Wnt/ $\beta$ -catenin signaling pathway and MGP mediate the regulation of osteogenesis by PTH.

**Key words:** PTH (1-34); matrix Gla protein; Wnt/ $\beta$ -catenin signaling pathway; postmenopausal osteoporosis; MG63 cells; alkaline phosphatase

骨质疏松症(OP)是以骨量低下,骨组织微结构破

坏为特征导致骨脆性增加而易骨折的全身代谢性骨病。它是危及老年人特别是绝经后妇女健康问题之一。近年研究发现人甲状旁腺激素(PTH)类药物是目前最有前途的骨形成促进剂,不但能逆转骨质疏松性骨丢失,间歇性低剂量给予PTH能使骨量增加,促进骨形成<sup>[1]</sup>。临床用药有重组人PTH全长型hPTH和N末端

收稿日期:2016-03-13

基金项目:国家自然科学基金(81460171)

Supported by National Natural Science Foundation of China (81460171).

作者简介:胡亚莉,硕士,副主任医师,E-mail: huyali7312@126.com

通信作者:杨雅,副教授,硕士生导师,E-mail: y\_y6757@aliyun.com

片段hPTH(1-34)活性片段,后者具有PTH相同的生理作用<sup>[1]</sup>。

PTH对骨代谢的调节作用机制有多种,有PKA<sup>[2]</sup>和丝裂原活化蛋白激酶(MAPKs)/细胞外调节蛋白激酶(ERKs)通路<sup>[3-4]</sup>等信号通路,PTH可能通过调节基质GLA蛋白(MGP)对骨代谢起调节作用<sup>[4-6]</sup>。MGP是软骨内骨形成和血管内钙化的重要调节因子,是矿盐沉积的重要抑制物<sup>[7-11]</sup>。Wnt/ $\beta$ -catenin信号通路也在骨形成中起重要的作用<sup>[12]</sup>,PTH能结合Wnt/ $\beta$ -catenin信号通路的重要因子Runx2的启动子而正调控Runx2的转录<sup>[13]</sup>。PTH、MGP及Wnt/ $\beta$ -catenin信号通路之间的关系对理解PTH在促进成骨细胞分化、生成的作用机制有重要价值。

本研究采用体外培养的人成骨肉瘤细胞MG63,用不同浓度PTH(1-34)进行干预,观察MGP、Wnt/ $\beta$ -catenin信号传导通路相关因子的表达水平变化,通过检测骨代谢活力标记物ALP活性来观察成骨细胞的成骨活动,并用Wnt/ $\beta$ -catenin信号传导通路特异抑制剂DKK-1干预对照,阐明PTH、MGP及Wnt/ $\beta$ -catenin信号通路之间的关系,阐明PTH(1-34)促进骨生成的作用分子机制。

## 1 材料和方法

### 1.1 试剂

无酚红DMEM(Gibco);0.25%胰酶(含EDTA)(Gibco);青霉素-链霉素抗生素(Gibco);胎牛血清(Gibco);PTH(1-34)(Sigma);DKK-1(Sigma);MGP、 $\beta$ -catenin、Runx2、LRP5、GAPDH引物(上海Invitrogen);Premix Ex Taq™(Perfect Real Time)(日本TaKaRa);PrimeScript® RT reagent Kit(Perfect Real Time)(TaKaRa);Trizol(TaKaRa);兔抗MGP多克隆抗体(Abcam);鼠抗 $\beta$ -catenin多克隆抗体(Abcam);鼠抗Runx2单克隆抗体(Abcam);兔抗LRP5多克隆抗体(Abcam);鼠抗 $\beta$ -actin单克隆抗体、山羊抗小鼠IgG二抗,HRP辣根过氧化物酶标记、鼠抗兔IgG二抗,HRP辣根过氧化物酶标记(北京全式金公司);蛋白抽提试剂盒(北京碧云天公司);PVDF膜(Millipore);发光试剂盒(Millipore),碱性磷酸酶活力试剂盒(南京建成公司)。

### 1.2 细胞培养及药物干预

人成骨肉瘤细胞株MG63细胞购买于美国培养保存中心(ATCC号:CRL-1427)。取成骨肉瘤细胞MG63细胞株复苏,用含有10%FBS+1%青-链霉素的无酚红DMEM培养液,置于含5%CO<sub>2</sub>、37℃培养箱中培养,细胞处于对数生长期时,按5×10<sup>5</sup>/瓶接种于25cm<sup>2</sup>培养瓶,细胞培养液每2d更换1次。当细胞汇合度达80%左右时进行药物干预:(1)实验分为3组干预组

(10<sup>-9</sup> mol/L PTH、10<sup>-8</sup> mol/L PTH、10<sup>-7</sup> mol/L PTH)及空白对照组;(2)实验分为PTH组:10<sup>-7</sup> mol/L PTH(1-34);PTH+DKK-1组:10<sup>-7</sup> mol/L PTH(1-34)+200 ng/mL DKK-1;DKK-1组:200 ng/mL DKK-1;空白对照组:无酚红DMEM,分别于24h后提取各组总mRNA(按Trizol操作说明进行),48h后提取各组总蛋白。

### 1.3 碱性磷酸酶(ALP)活性检测

用矿化诱导液[DMEM(H)+10%FBS+10 mmol/L  $\beta$ -甘油磷酸钠+0.1  $\mu$ mol/L地塞米松+50  $\mu$ g/mL VitC]培养细胞,同时按前述分组加入PTH及Dkk-1干预细胞,2~3d换液1次,连续诱导7d,按碱性磷酸酶染色及活力检测试剂盒说明书进行染色及活力测定。

### 1.4 荧光实时定量PCR(qPCR)检测mRNA表达

按照试剂盒(PrimeScript® RT reagent Kit, TaKaRa)要求操作,按份配置逆转录反应液(反应液配置在超净台内在冰上进行)。引物设计和合成:管家基因GAPDH作为内参基因,根据Genbank数据库,由Primer express5.0软件设计、上海Invitrogen公司合成MGP、 $\beta$ -catenin、LRP5、Runx2和GAPDH引物,引物序列见表1。根据最终的优化体系,内参基因和目的基因进行Real-Time PCR反应。

### 1.5 Western blot检测蛋白表达

按蛋白提取试剂盒说明书提取细胞总蛋白,进行Western blot。应用Quantity One软件对电泳条带扫描的灰度值进行Western blotting实验结果的数据分析。

### 1.6 统计学分析

用IBM SPSS Statistics 20统计软件进行数据分析,计量资料以均数±标准差表示,比较两组如果方差齐用t检验,方差不齐用秩和检验,多组间比较用ANOVA方差分析。 $P<0.05$ 为差异有统计学意义。

## 2 结果

### 2.1 PTH上调MG63细胞MGP表达,且呈剂量依赖性

用10<sup>-9</sup>、10<sup>-8</sup>、10<sup>-7</sup> mol/L PTH分别处理MG63 24h,用RT-PCR方法检测MGP mRNA的表达量发现,MGP mRNA的表达分别是对照组的2.56倍、4.14倍、7.81倍( $P<0.01$ ,图1A)。同时我们用Western-blot方法检测细胞裂解液中MGP蛋白(12 000)含量,结果显示3种浓度PTH(10<sup>-9</sup>、10<sup>-8</sup>、10<sup>-7</sup> mol/L)均相应地促进MGP蛋白的表达,且呈剂量依赖性增高,10<sup>-9</sup> mol/L PTH组与对照组相比, $P<0.05$ ;10<sup>-8</sup> mol/L PTH组、10<sup>-7</sup> mol/L PTH组与对照组相比( $P<0.01$ ,图1B、C)。

### 2.2 PTH增加MG63细胞碱性磷酸酶(ALP)活性

根据上述实验,我们选择10<sup>-7</sup> mol/L浓度的PTH进一步研究PTH处理MG63细胞是否对成骨细胞的生成有促进作用。ALP是成骨细胞成骨活动相关的一个重要

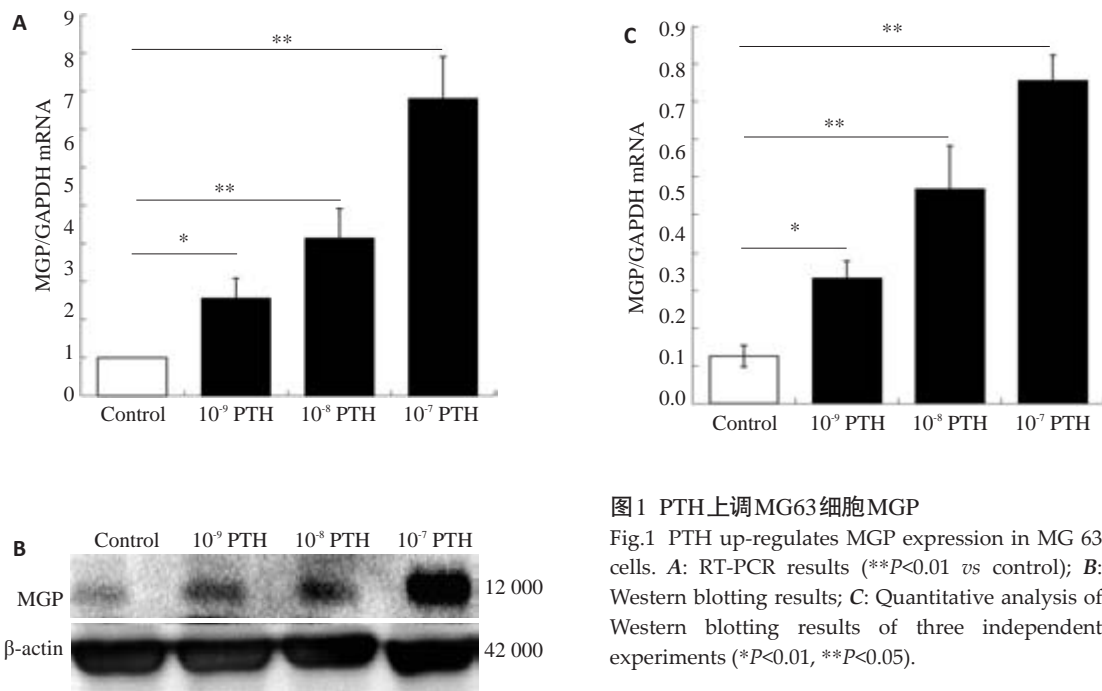


图1 PTH上调MG63细胞MGP

Fig.1 PTH up-regulates MGP expression in MG 63 cells. **A**: RT-PCR results (\*\* $P < 0.01$  vs control); **B**: Western blotting results; **C**: Quantitative analysis of Western blotting results of three independent experiments (\* $P < 0.01$ , \*\* $P < 0.05$ ).

指标。药物Dkk-1是Wnt/ $\beta$ -catenin信号通路的特异抑制剂。经过矿化诱导液处理的MG63细胞, $10^{-7}$  mol/L PTH、200 ng/mL Dkk-1、PTH+Dkk-1分别处理细胞,观察1周后ALP活性状态。如图2A所示,碱性磷酸酶染色(偶氮偶联法)显示细胞内蓝色为ALP活性部分,红色为细胞核。与经过矿化但无药物处理的对照组(图2A-a)相比,PTH组ALP活性部分明显增加(图2A-b),

而Dkk-1组(图2A-c)相对减少,Dkk-1与PTH联合作用时(图2A-d),与PTH组相比ALP活性部分明显减少(图2A);与对照组相比,PTH明显增加ALP活力,Dkk-1明显降低ALP活力(\* $P < 0.05$ ),PTH与Dkk-1联合作用时,PTH促细胞ALP活力的作用被抑制(与PTH组相比,## $P < 0.01$ ,图2B)。

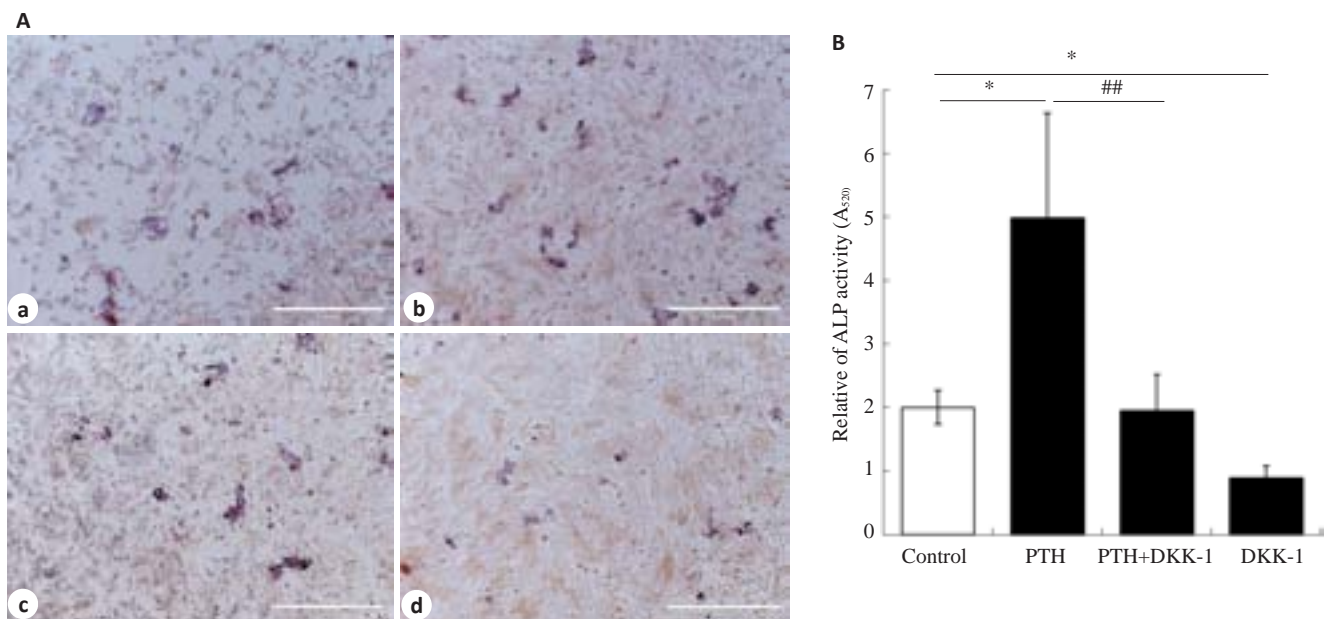


图2 矿化诱导的MG63细胞经过PTH处理后碱性磷酸酶活性升高

Fig.2 PTH increases alkaline phosphatase (ALP) activity in mineralization solution-treated MG63 cells. **A**: ALP was stained by Azo coupling method (Original magnification:  $\times 40$ ; a-d: Control, PTH, DKK, and PTH+DKK treatment groups, respectively). ALP was stained blue and the nucleus red; **B**: ALP ratio of treatment group relative to the control (## $P < 0.01$ , \* $P < 0.05$ ).



### 2.3 PTH 及 Dkk-1 对人 MG63 细胞 MGP 及 wnt/ $\beta$ -catenin 经典信号通路相关因子基因表达的影响

本实验进一步研究经 PTH 处理后 MG63 细胞 MGP、Wnt/ $\beta$ -catenin 通路 LRP5、 $\beta$ -catenin 及 Runx2 基因表达情况。如图 3 所示,在用  $10^{-7}$  mol/L PTH 作用于 MG63 细胞 24 h 后, Wnt/ $\beta$ -catenin 经典信号通路 LRP5、 $\beta$ -catenin 及 Runx2 mRNA 的表达均上调,分别是对照组的 2.65、4.01、3.48 倍 ( $P < 0.05$ ,  $P < 0.01$ ), Dkk-1 使 LRP5、 $\beta$ -catenin 及 Runx2 mRNA 的表达下降 ( $P < 0.05$ ,  $P < 0.01$ ),但 Dkk-1 并未明显抑制 MGP mRNA 的表达,差异无统计学意义 ( $P > 0.05$ ),而 PTH 与 Dkk-1 联合作用时, Dkk-1 的抑制作用抵消了 PTH 促 MGP、LRP5、 $\beta$ -catenin、Runx2 的作用 ( $P < 0.05$ ,  $P < 0.01$ )。

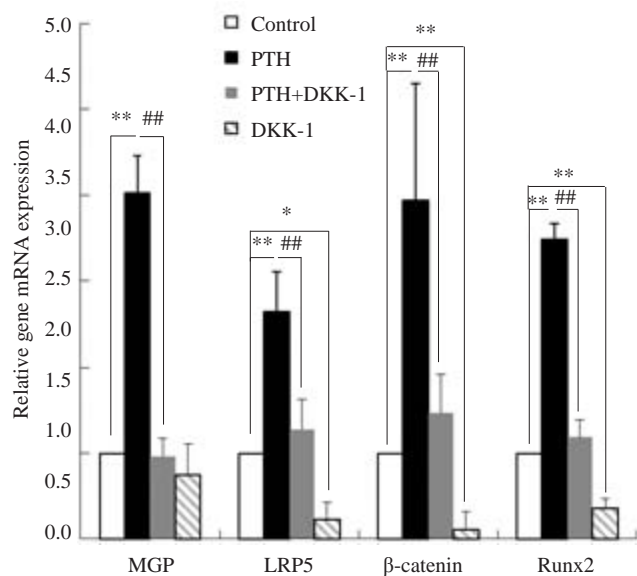


图3 PTH处理MG63细胞对wnt/ $\beta$ -catenin信号通路相关分子mRNA表达的影响

Fig.3 Effect of PTH treatment on mRNA expressions in wnt/ $\beta$ -catenin pathway in MG63 cells. \* $P < 0.05$ , \*\* $P < 0.01$ ; # $P < 0.05$ , ## $P < 0.01$ .

### 2.4 PTH(1-34)及 DKK-1 对 MG63 细胞 MGP 及 Wnt/ $\beta$ -catenin 信号通路中相关因子蛋白表达的影响

进一步对以上各组细胞裂解液进行 Western-blot 分析发现, PTH 对 MGP 及 wnt/ $\beta$ -catenin 经典信号通路 LRP5、 $\beta$ -catenin 及 Runx2 蛋白的表达的影响与基因一致, PTH 促进了这些蛋白的表达, Dkk-1 则抑制 LRP5、 $\beta$ -catenin 及 Runx2 蛋白的表达, 差异均有统计学意义 ( $P < 0.05$ ,  $P < 0.01$ ), 但与对照组相比 MGP 蛋白的表达无明显差异 ( $P > 0.05$ ), PTH 与 Dkk-1 联合作用能阻断 PTH 的作用, 与 PTH 组相比, MGP、LRP5、 $\beta$ -catenin、Runx2 蛋白的表达均减少 ( $P < 0.05$ ,  $P < 0.01$ , 图 4)。

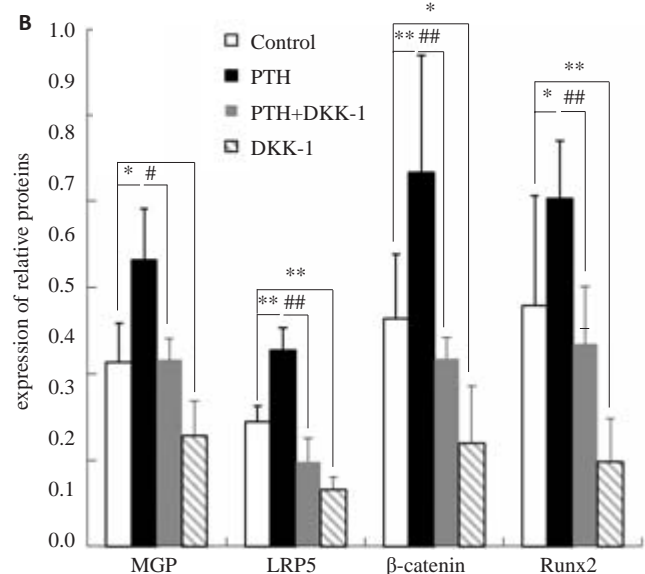
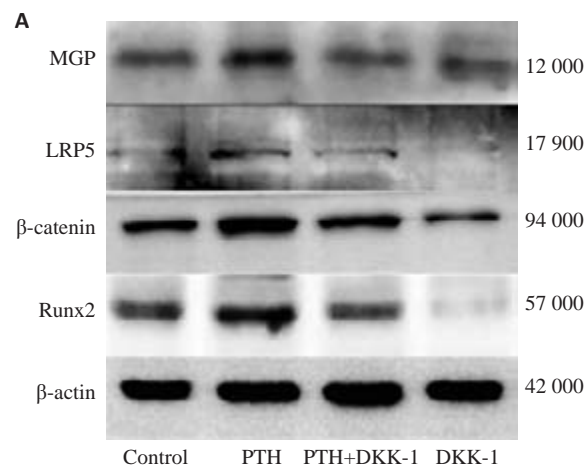


图4 PTH对MG63细胞的wnt/ $\beta$ -catenin经典信号通路相关分子蛋白表达水平的影响

Fig.4 PTH treatment effect on the protein expressions in wnt/ $\beta$ -catenin pathway in MG63 cells. A: Western blot analysis of the protein expressions; B: Quantitative analysis of the results of three independent experiments. \* $P < 0.05$ , \*\* $P < 0.01$ ; # $P < 0.05$ , ## $P < 0.01$ .

### 3 讨论

PTH是一种调节钙磷代谢、维持机体钙稳态的主要激素, PTH(1-34)作为抗骨质疏松用药已经在临床上使用。PTH调节骨代谢机制有很多报道, 近年来对 PTH 与 MGP 及 Wnt/ $\beta$ -catenin 信号通路对促进骨的形成与分化有很多研究进展, 但它们之间的关系有很多待阐明。本研究从以下几个方面进一步探讨了它们之间的关系。

本研究进一步在体外培养的 MG63 细胞中证实 PTH 正调控了 MGP 的表达。MGP 是一种维生素 K 依赖性循环蛋白, 它广泛存在于骨骼、牙质、软骨、心、肺等组织中<sup>[7]</sup>。敲除 MGP 基因和转基因过表达 MGP

的小鼠研究显示MGP是软骨内骨形成和血管内钙化的重要调节因子,是矿盐沉积的重要抑制物<sup>[9-10]</sup>。在体内,MGP主要受许多骨代谢相关的蛋白或因子调节,PTH、钙、磷、维生素D、雌激素等均能影响或调节MGP的表达<sup>[8,14]</sup>。向小鼠颅骨注射PTH会使MGP的mRNA的表达增加2倍<sup>[15]</sup>。Gopalakrishnan等<sup>[16]</sup>发现PTH呈时间和剂量依赖性诱导成骨细胞MC3T3-E1的MGP表达。我们研究小组也发现在原代培养SD大鼠成骨细胞中使用PTH、维生素K2、活性维生素D3、阿仑膦酸盐均能诱导MGP mRNA的表达,且呈剂量依赖性<sup>[11]</sup>。本研究显示在我们使用的浓度范围内(分别是 $10^{-9}$ 、 $10^{-8}$ 、 $10^{-7}$  mol/L),PTH(1-34)刺激MGP表达呈剂量依赖性,PTH浓度越高,MGP表达越高(图1)。我们的研究与Gopalakrishnan等<sup>[16]</sup>在MC3T3-E1成骨样细胞的实验结果一致,也与我们课题组在去卵巢SD大鼠上的实验相符合<sup>[6]</sup>。

我们证实PTH促进了人成骨细胞ALP的活性(图2)。碱性磷酸酶同工酶3(ALP3)是骨源性碱性磷酸酶(NBAP),是成骨细胞的表型标记物之一,它可直接反应成骨细胞的活力或功能状况。我们研究结果和张秀珍等研究相符,他们在一项多中心研究数据显示绝经后骨质疏松患者在rhPTH(1-34)治疗后第6个月,第12个月和18个月骨形成指标-骨碱性磷酸酶显著增加,并在12个月内向峰值接近,12个月后,上升减慢,他们认为rhPTH打开了骨生长窗,促使骨形成加速<sup>[17]</sup>。我们检测Wnt/ $\beta$ -catenin信号通路在促进成骨中的作用。DKK-1是真核细胞分泌型糖蛋白,能与Wnt的受体LRP-5、LRP-6结合,从而阻断Wnt/ $\beta$ -catenin信号通路,影响成骨细胞分化<sup>[18]</sup>,在实验中常作为Wnt/ $\beta$ -catenin信号通路的抑制剂。当使用DKK-1干预MG63细胞后,ALP活性明显减少,而PTH和DKK-1联合使用时,DKK-1能抵消PTH的一部分作用,但不能完成阻断PTH的作用。我们的结果说明PTH在调节Wnt/ $\beta$ -catenin信号通路影响成骨细胞的代谢和活性的重要作用,也提示PTH对其他通路的作用。

我们检测了PTH及DDK-1单独用药及联合用药对MGP及WNT通路的各组分的mRNA及蛋白表达水平。结果显示PTH(1-34) $10^{-7}$  mol/L干预MG63细胞24 h后,MGP、Wnt/ $\beta$ -catenin信号通路LRP5、 $\beta$ -catenin及Runx2的mRNA和蛋白水平都较对照组升高,同时相应表达的蛋白较对照组增多。用Wnt/ $\beta$ -catenin信号通路的抑制剂DDK-1后MGP的mRNA及蛋白表达和对照组相比,没有统计学差别,但LRP5、 $\beta$ -catenin及Runx2的表达均比对照组降低,而PTH及DDK-1的联合用药时,PTH的作用明显被DDK-1抵消,但没有完全抑制。这些结果说明PTH调节MGP作用主要不是通

过Wnt/ $\beta$ -catenin信号通路,这一结果与Fazenda等<sup>[13]</sup>及Suttamanatwong等<sup>[15]</sup>文献报道的报道有出入,前者认为PTH通过Runx2促进了MGP的表达,后者认为Runx2对MGP的调节有双重作用。结果不同的原因之一可能是因为每个实验所用的细胞不同造成。因此,我们这一结果还需要进一步在MGP基因过表达及敲除实验中验证,并在更多的骨细胞株中研究。虽然如此,MGP的升高本身会对骨代谢起作用,如Kulkarni等<sup>[19-20]</sup>作了类似报道,即PTH通过上调MGP影响骨代谢,促进成骨细胞分化与形成,而PTH通过Wnt/ $\beta$ -catenin信号通路对骨代谢的调节起着重要的作用。有研究发现PTH能结合Runx2的启动子并促进Runx2的转录<sup>[15]</sup>,本研究结果显示,PTH不但促进了Runx2表达,也促进了Wnt/ $\beta$ -catenin信号通路的LRP5和 $\beta$ -catenin的表达,因此可对下游的Runx2表达起到加强作用,Runx2表达增加刺激成骨细胞生长,降低成熟成骨细胞凋亡<sup>[-21-23]</sup>。

我们的结果显示DDK-1不能完全抑制PTH对ALP的作用及Wnt/ $\beta$ -catenin作用,除开PTH调节MGP的作用以外,其他的原因还与PTH还通过其它机制参与骨代谢的作用有关。例如Yamashita等<sup>[2]</sup>认为当PTH与成骨细胞表面跨膜G蛋白偶联受体结合,激活细胞内PKA和PKC通路,导致Runx2-PKA活性增加,从而促进胰岛素样生长因子-1和胰岛素样生长因子-2及成纤维细胞生长因子基因表达,从而促进成骨细胞的分化、增值,并激活抗凋亡基因Bcl-2的转录阻止其凋亡。Datta等<sup>[3]</sup>研究表明丝裂原活化蛋白激酶/细胞外调节蛋白激酶通路也参与PTH-R1受体对骨形成的调节。

本研究证明PTH(1-34)可诱导体外培养的成骨细胞MG63的内源性MGP的表达,及Wnt/ $\beta$ -catenin信号通路的LRP5、 $\beta$ -catenin及Runx2等主要组分的表达,从而促进成骨细胞ALP活力,促进成骨作用。PTH(1-34)可通过上调Wnt/ $\beta$ -catenin信号通路及增加MGP活性促进成骨细胞分化。

## 参考文献:

- [1] 陈家伦. 临床内分泌学[M]. 上海: 上海科学技术出版社, 2011: 1479-82.
- [2] Yamashita J, Datta NS, Chun Y-HP, et al. Role of Bcl2 in osteoclastogenesis and PTH anabolic actions in bone [J]. Bone Miner Res, 2008, 23(7): 621-32.
- [3] Datta NS, Abou-Samra AB. PTH and PTHrP signaling in osteoblasts [J]. Cell Signal, 2009, 21(8): 1245-54.
- [4] Khoshnati S, Bourguin A, Julien M, et al. Phosphate-dependent stimulation of MGP and OPN expression in osteoblasts via the ERK1/2 pathway is modulated by Calcium [J]. Bone, 2011, 48(4): 894-902.
- [5] 谢菲飞, 杨雅, 赖晓阳. 维生素D对基质GLA蛋白的影响[J]. 中国骨质疏松杂志, 2015, 9: 1123-7, 1142.

- [6] 赖晓阳, 陈雪英, 方向南, 等. 甲状旁腺激素对去卵巢SD大鼠及其成骨细胞基质GLA蛋白表达的影响[J]. 中华内分泌代谢杂志, 2012, 28(4): 330-4.
- [7] Price PA, Williamson MK. Primary structure of bovine matrix Gla protein, a new vitamin K-dependent bone protein[J]. J Biol Chem, 1985, 260(28): 14971-5.
- [8] Fusaro M, Giannini S, Gallieni M, et al. Calcimimetic and vitamin D analog use in hemodialyzed patients is associated with increased levels of vitamin K dependent proteins[J]. Endocrine, 2016, 51(2): 333-41.
- [9] Luo G, Ducy P, McKee MD, et al. Spontaneous calcification of arteries and cartilage in mice lacking matrix GLA protein [J]. Nature, 1997, 386(6620): 78-81.
- [10] Marulanda J, Gao C, Roman H, et al. Prevention of arterial calcification corrects the low bone mass phenotype in MGP-deficient mice[J]. Bone, 2013, 57(2): 499-508.
- [11] 赖晓阳, 方向南, 陈雪英, 等. 四种骨质疏松治疗药物对原代SD大鼠成骨细胞MGP表达的影响[J]. 中华内分泌代谢杂志, 2012, 28(12): 956-61.
- [12] Burgers TA, Williams BO. Regulation of Wnt/ $\beta$ -catenin signaling within and from osteocytes[J]. Bone, 2013, 54(2): 244-9.
- [13] Fazenda C, Simões B, Kelsh RN, et al. Dual transcriptional regulation by runx2 of matrix Gla protein in *Xenopus laevis* [J]. Gene, 2010, 450(1/2): 94-102.
- [14] Gopalakrishnan R, Suttamanatwong S, Carlson AE, et al. Role of matrix Gla protein in parathyroid hormone inhibition of osteoblast mineralization[J]. Cells Tissues Organs, 2005, 181(3-4): 166-75.
- [15] Suttamanatwong S, Jensen ED, Schilling J, et al. Sp proteins and Runx2 mediate regulation of matrix gla protein (MGP) expression by parathyroid hormone[J]. J Cell Biochem, 2009, 107(2): 284-92.
- [16] Gopalakrishnan R, Ouyang H, Somerman MJ, et al. Matrix gamma-carboxyglutamic acid protein is a key regulator of PTH-mediated inhibition of mineralization in MC3T3-E1 osteoblast-like cells[J]. Endocrinology, 2001, 142(10): 4379-88.
- [17] 张秀珍, 宣 淼, 李 颖, 等. 一项为期18个月、多中心应用重组人甲状旁腺激素(1-34)与依降钙素治疗绝经后骨质疏松症的随机、对照临床试验研究[J]. 中华内分泌代谢杂志, 2015, 31(2): 120-6.
- [18] MacDonald BT, JoIner DM, Oysemilan SM, et al. Bone mass is inversely proportional to DKK-1 levels in mice[J]. Bone, 2007, 41(5): 331-9.
- [19] Kulkarni NH, Halladay DL, Miles RR, et al. Effects of parathyroid hormone on Wnt signaling pathway in bone [J]. J Cell Biochem, 2005, 95(6): 1178-90.
- [20] Wan M, Yang C, Li J, et al. Parathyroid hormone signaling through low-density lipoprotein-related protein 6 [J]. Genes Dev, 2008, 22(21): 2968-79.
- [21] Marie PJ, Kassem M. Osteoblasts in osteoporosis: past, emerging, and future anabolic targets[J]. Eur J Endocrinol, 2011, 165(1): 1-10.
- [22] Gao J, Liu Q, Liu X, et al. Cyclin G2 suppresses estrogen-mediated osteogenesis through inhibition of Wnt/ $\beta$ -catenin signaling [J]. PLoS One, 2014, 9(3): e89884.
- [23] Iyer S, Ambrogini E, Bartell SM, et al. FOXOs attenuate bone formation by suppressing Wnt signaling[J]. J Clin Invest, 2013, 123(8): 3409-19.

(编辑:孙昌朋)